

طراحی کنترل تطبیقی L1 برای پایدارسازی سیستم‌های آشوبناک با وجود نامعینی در مدل

عبدالله عباسی^۱، سمانه‌سادات آقاعمو^{۲*}

اطلاعات مقاله	چکیده
دریافت مقاله: ۱۳۹۵/۰۳/۰۱	در این مقاله، استراتژی کنترل تطبیقی L1 برای پایدارسازی سیستم‌های آشوبناک با وجود نامعینی در مدل پیشنهاد می‌شود. برای طراحی کنترل‌کننده، نخست دینامیک سیستم به دو بخش خطی و غیرخطی تفکیک می‌شود. بخش خطی توسط فیدبک حالت جایابی و به رفتار یک مدل مرجع همگرا می‌شود. بخش غیرخطی شامل نامعینی توسط کنترل تطبیقی مبتنی بر الگوریتم تطبیق تصویر جبران می‌شود. این بخش شامل برداری مجهول در نرم بی‌نهایت بردار حالت و برداری معرف آفست است. یک رویت‌گر حالت هم رفتار مدل مرجع را توصیف می‌کند. همچنین، از پیش‌فیلترهای مرتبه اول با بهره واحد برای افزایش حاشیه پایداری استفاده می‌شود. ویژگی اصلی کنترل تطبیقی L1 مواجهه با هر دو نوع نامعینی‌های پارامتری و غیر پارامتری می‌باشد. تحلیل پایداری سیستم حلقه بسته بر مبنای تئوری لیاپانوف ارائه شده و عملکرد سیستم کنترلی با یکی از روش‌های کنترل تطبیقی مرسوم مورد مقایسه و ارزیابی قرار می‌گیرد. نتایج حاکی از عملکرد مطلوب روش پیشنهادی در پایدارسازی سیستم آشوبناک با وجود نامعینی در مدل می‌باشد.
پذیرش مقاله: ۱۳۹۵/۱۲/۲۱	
واژگان کلیدی: سیستم آشوبناک، کنترل تطبیقی L1، پایدارسازی، نامعینی‌های.	

۱- مقدمه

سیستم‌های آشوبناک معرف نوعی سیستم‌های قطعی با رفتار نامنظم می‌باشند که از اهمیت زیادی در حوزه سیستم‌های دینامیک غیرخطی برخوردار هستند. این سیستم‌ها دارای خصوصیات ویژه‌ای هستند. به‌طور مثال، آشوب فقط در سیستم‌های غیرخطی وجود دارد. پاسخ آن‌ها نسبت به شرایط اولیه حساس بوده و مسیرهای حالت آن‌ها به‌صورت یک سری جاذب‌های عجیب در می‌آیند و مسیر حرکت سیستم هرگز تکرار نمی‌شود. در این سیستم‌ها، با تغییر در پارامترهای آن‌ها، پدیده دوشاخگی رخ داده و همچنین، طیف فرکانسی مسیرهای حالت در آن‌ها، پیوسته می‌باشند.

از دیدگاه کنترل به دو نحو می‌توان به آشوب نظر انداخت. در دیدگاه اول خواص مطلوب یک سیستم آشوبناک استخراج می‌شود. برای این منظور، باید سیستم را از حالت آشوبناک بیرون آورد یا اینکه میزان دامنه نوسانات آشوبناک را کم نمود. در حالت دوم، با استفاده از خواص آشوب، یک

سیستم نوعی کنترل می‌شود [۱]. برای این منظور، کنترل‌کننده به گونه‌ای طراحی می‌شود که اولاً سیستم حلقه بسته آشوبناک باشد و ثانیاً سیستم آشوبناک به سمت وضعیت مطلوب هدایت شود. کنترل پیشرو یا حلقه باز یکی از روش‌های کنترل آشوب است که در آن از یک تحریک خارجی مانند تغییر پارامترهای سیستم یا یک میدان خارجی استفاده می‌شود [۲]. این روش‌ها نسبت به روش‌های مبتنی بر فیدبک ذاتاً انعطاف‌پذیری کمتری داشته و نیاز به اطلاعات اولیه بیشتری از معادلات حرکت است. اوت، گریگی و یورک را می‌توان پایه‌گذاران کنترل آشوب از طریق فیدبک محسوب نمود. در روش آن‌ها بیان شده است که همواره می‌توان آشوب را با تعقیب یکی از بی‌نهایت مدار متناوب ناپایدار واقع در جاذب آشوب متوقف نمود [۳].

مهم‌ترین مزیت این روش، سیگنال کنترلی کوچک بوده که البته ممکن است پاسخ کندی را ایجاد نماید [۴]. در روش کنترل آشوب به کمک فیدبک، از اختلاف بین خروجی و

* پست الکترونیک نویسنده مسئول: s.ghaamoo@yahoo.com

۱. استادیار، گروه برق و کنترل، دانشکده فنی مهندسی، دانشگاه آزاد اسلامی گرمسار

۲. کارشناسی ارشد، گروه برق و کنترل، دانشکده فنی مهندسی، دانشگاه آزاد اسلامی گرمسار

نامعینی‌های پارامتری موجود در موتور مغناطیس دائم و همچنین برخورداری از پایداری زمان محدود می‌باشد. در [۱۳] مسئله پایداری یک سیستم قدرت در شرایطی که رفتار آشوبناک در آن مشاهده می‌شود، مورد بررسی و تحلیل قرار گرفته است. در [۱۴] روش کنترل آشوبی ارائه شده است که در آن تداخل متناسب با اختلاف بین حالت فعلی و یک مقدار ثابت می‌باشد. اثبات می‌شود که رویکرد پیشنهادی قادر به پایدارسازی بسیاری از نگاشت‌های تک‌بعدی معمول مورد استفاده در مدل‌های زمان گسسته‌ای است که حول یک نقطه تعادل مثبت پایدار فراگیر می‌باشند. در [۱۵] از کنترل مد لغزشی ترمینال مرتبه کسری جدیدی برای کنترل و همزمان‌سازی سیستم‌های آشوبناک یا فوق آشوب غیرمستقل از حالت مرتبه کسری استفاده شده است.

در روند طراحی، تأثیرات مربوط به نامعینی‌های مدل و اغتشاشات خارجی به طور کامل لحاظ شده است. در [۱۶] تحلیل پایداری مدار وندریل - دیوفینگ اصلاح شده مرتبه کسری با استفاده از معیار روث - هورویتز مرتبه کسری مورد مطالعه قرار گرفته است. سپس نشان داده شده که سیستم مرتبه کسری وندریل - دیوفینگ به نقاط تعادل خود همگرا می‌شود اما سیستم مرتبه صحیح آن کنترل نمی‌شود. در [۱۷] تحلیل دوشاخگی Hopf در سیستم آشوبناک شیموزو - موریکا با استفاده کنترل فیدبک تاخیردار مورد بررسی قرار گرفته است. با استفاده از نظریه فرم نرمال و نظریه خمینه مرکزی، فرمول‌بندی صریحی برای تعیین پایداری و راستای جواب‌های متناوب دوشاخگی به‌دست آمده است.

در [۱۸] استراتژی کنترل مد لغزشی بدون چترینگ برای کنترل آشوب و همزمان‌سازی سیستم‌های آشوبناک نامعین غیرخطی پیشنهاد شده است. سطح لغزشی شامل عملگر دیفرانسیلی و انتگرالی بوده و یک ورودی کنترل بدون چترینگ برای سیستم آشوبناک با عدم قطعیت به‌دست آمده است. در [۱۹] ابتدا چندین سیستم آشوبناک چهاربعدی بر مبنای یک سیستم آشوبناک سه‌بعدی ارائه شده و سه مشخصه دینامیکی آن‌ها ارزیابی شده است. سپس، ثابت شده است که سیستم‌های مذکور را می‌توان با استفاده از یک قانون کنترل فیدبک تطبیقی اسکالر ساده به نقاط تعادل خود پایدار نمود. در [۲۰] از روش تبدیل پایداری برای شناسایی موقعیت یک مدار متناوب ناپایدار

مقدار تأخیر یافته‌اش فیدبک گرفته می‌شود. در این روش وجود تأخیر باعث به وجود آمدن روشی ساده و مؤثر برای کنترل سیستم‌های آشوبی می‌شود [۵].

به‌طور کلی می‌توان از نماهای لیاپانوف به منظور شناخت و بررسی میزان آشوبی بودن سیستم‌های دینامیکی پیچیده استفاده نمود. این پارامترها را می‌توان بیانگر حساسیت به شرایط اولیه نامید [۶ و ۷]. در واقع مثبت بودن بزرگترین نمای لیاپانوف سیستم بیانگر آن است که سیستم به حالت آشوبناک درآمده است. به ویژه اگر پارامترهای سیستم در معرض تغییر باشد، می‌توان با محاسبه تطبیقی نماهای لیاپانوف، آشوب را به روش تطبیقی کنترل نمود. از دیگر تحقیقات صورت گرفته در زمینه کنترل سیستم‌های آشوبناک می‌توان به موارد زیر اشاره نمود:

در [۸] به منظور کنترل آشوب و همزمان‌سازی کلاسی از سیستم‌های فوق آشوب نامعین از استراتژی کنترل زمان محدود بدون چترینگ تطبیقی - مقاوم استفاده شده است. برای طراحی کنترل‌کننده، ابتدا سطح مد لغزشی غیرتکینیتی تعریف شده و سپس، قوانین تطبیق مناسب برای فراهم نمودن قوام، دقت کنترلی بالا و همگرایی زمان محدود و سریع بدون نیاز به اطلاعات قبلی راجع به کران بالای نامعینی‌ها و اغتشاشات خارجی استخراج شده است. در [۹] مسئله همزمان‌سازی و کنترل آشوب در بین نوسان‌سازهای آشوب که به طور مستقیم تزویج یافته‌اند، مورد بررسی قرار گرفته است. در واقع، هزاران نوسان‌ساز که تا حدی برای همزمان‌سازی مدیریت می‌شوند، ریتم‌های مخالف یکدیگر را تولید می‌کنند. به‌منظور همزمان‌سازی سیستم مذکور، تعدادی معیار مختلف بر مبنای تئوری لیاپانوف توسعه داده شده است. در [۱۰] از کنترل مد شبه لغزشی برای از بین بردن رفتار آشوبناک موتور سنکرون مغناطیس دائم استفاده شده است. به منظور حذف پدیده چترینگ در ساختار کنترلی، از ورودی پیوسته‌ای بهره گرفته شده است. در [۱۱] از نقطه‌نظر دوشاخگی و کنترل آشوب، دینامیک سیستم مداری جوی اصلاح شده با استفاده از روش فیدبک تاخیردار مورد بررسی قرار گرفته است. نشان داده شده است که وقتی تأخیر از طریق دنباله‌ای از مقادیر بحرانی عبور می‌نماید، دوشاخگی Hopf - zero و Hopf - zero به وجود می‌آید. در [۱۲] از رویکرد کنترل تطبیقی برای از بین بردن اثر آشوب در موتور سنکرون مغناطیس دائم استفاده شده است. دلیل استفاده از کنترل تطبیقی مواجهه به

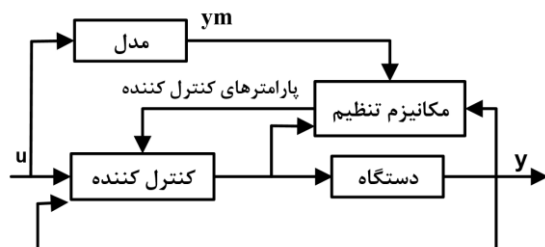
- استخراج قوانین تطبیق بر مبنای تحلیل پایداری سیستم حلقه بسته

در ادامه مقاله، در بخش ۲ اشاره‌ای مختصر بر ساختار کنترل تطبیقی L1 می‌شود. در بخش ۳ روند طراحی کنترل کننده برای یک سیستم آشوبناک به نام سیستم لیو تشریح می‌شود. در بخش ۴ تحلیل پایداری صورت گرفته و شبیه‌سازی و تحلیل نتایج در بخش ۵ ارائه می‌شود. نتیجه‌گیری نیز در بخش ۶ بیان می‌گردد.

۲- ساختار کنترل تطبیقی L1

کنترل تطبیقی L1 از دسته کنترل کننده‌های مدل مرجع است. در این روش کنترلی، سعی در انطباق رفتار سیستم حلقه بسته با یک مدل مرجع می‌باشد. در واقع، مدل مرجع رفتار حلقه بسته را تعیین می‌کند. همچنین یک مکانیزم تطبیق وظیفه این انطباق را بر عهده دارد. کنترل کننده در هر لحظه از اطلاعات مکانیزم تطبیق برای تطبیق خود با شرایط محیطی و همگرایی سیستم حلقه بسته به رفتار مدل مرجع استفاده می‌کند.

بلوک دیاگرام سیستم تطبیقی مدل مرجع در شکل (۱) مشاهده می‌شود. هدف سیستم های تطبیقی مدل مرجع، رساندن خطای $e = y - y_m$ به صفر است [۲۴].



شکل ۱: نمودار بلوکی سیستم تطبیقی مدل مرجع

چنانچه سیستمی را با دینامیک زیر در نظر بگیرید:

$$\dot{\mathbf{x}}(t) = \mathbf{A}\mathbf{x}(t) + \mathbf{B}\mathbf{u}(t) + \mathbf{f}(t, \mathbf{x}(t)), \quad (1)$$

$$\mathbf{y}(t) = \mathbf{C}\mathbf{x}(t)$$

که در آن، $\mathbf{x}(t) \in R^n$ معرف بردار حالت، $\mathbf{u}(t) \in R^m$ بردار ورودی، $\mathbf{y}(t) \in R^m$ ، $m \leq n$ خروجی رگوله شده و $\mathbf{f} \in R^n$ نیز بردار غیرخطی و دارای نامعینی است. برای فرموله نمودن کنترل تطبیقی L1، سیگنال کنترلی به دو بخش تفکیک می‌شود [۲۵].

$$\mathbf{u} = -\mathbf{K}_m \mathbf{x} + \mathbf{u}_{ad} \quad (2)$$

با استفاده از فیدبک حالت $\mathbf{u} = -\mathbf{K}_m \mathbf{x}$ ماتریس حالت

در یک سیستم دینامیکی با رفتار آشوبناک استفاده شده است. رویکرد کنترل آشوب نیز بر مبنای روش تبدیل پایداری طراحی شده است. در [۲۱] با فرض اینکه اطلاعاتی از مدل سیستم در اختیار نمی‌باشد، کنترل کننده مبتنی بر جایابی قطب در تلفیق با شبکه عصبی پیشنهاد شده است. برنامه کنترلی مبتنی بر جایابی قطب در واقع یک روش کنترل فیدبک خطی را ایجاد می‌نماید. برای محاسبه بهره فیدبک، از شبکه عصبی برای شناسایی سیستم استفاده شده که با استفاده از آن مکان محاسبه ماتریس ژاکوبی در یک نقطه ثابت فراهم می‌شود. در [۲۲] مسئله همزمان سازی سیستم پاسخ محرک با پارامترهای نامعلوم برای سیستم‌های آشوبناک با نامعینی‌های مدل، مورد بررسی قرار گرفته است. بر اساس نظریه پایداری لیاپانوف و استفاده از روش کنترل مد لغزشی، سطح لغزش دینامیکی و کنترل کننده مد لغزش تطبیقی برای تخمین لحظه‌ای پارامترهای نامعلوم طراحی شده است. در [۲۳] استفاده از کنترل مد لغزشی برای همزمان سازی شبکه‌های عصبی آشوبناک نامعین با تاخیرهای زمانی متغیر با زمان، مورد بررسی قرار گرفته است. قانون کنترل با تعریف سطح لغزش تناسبی - انتگرالی و بر مبنای تحقق شرط لغزش استخراج شده است. بر اساس روش کنترل مد لغزشی، برخی شرایط کافی برای همزمان سازی دو شبکه عصبی تزویج یافته به دست آمده است. تضمین پایداری سیستم حلقه بسته با تعریف تابع لیاپانوف مناسب و ارتباط آن با حل نامساوی ماتریسی خطی صورت گرفته است.

در این مقاله از کنترل تطبیقی L1 برای پایداری یک سیستم آشوب استفاده می‌شود. برای طراحی، ابتدا دینامیک سیستم به دو بخش خطی و غیرخطی تفکیک می‌شود. بخش خطی به کمک فیدبک حالت جایابی می‌شود و بخش غیرخطی از طریق قانون کنترل تطبیقی مبتنی بر الگوریتم تطبیق تصویر جبران می‌شود. پیش فیلترهای مرتبه اول نیز برای امکان افزایش حاشیه پایداری سیستم استفاده می‌شوند. یک رویکرد حالت نیز رفتار مدل مرجع را توصیف می‌نماید. استراتژی پیشنهادی دارای چندین مزایا می‌باشد که از آن جمله می‌توان به موارد زیر اشاره نمود:

- پایداری یک سیستم آشوبناک به شیوه‌ای

تطبیقی جدید بر مبنای کنترل تطبیقی L1

- مواجهه با نامعینی‌های پارامتری و غیر پارامتری در

مدل

$$\|G_m(s)\|_{L1} < \frac{\rho_r - \|\mathbf{H}_{xm}(s)\mathbf{C}(s)\mathbf{K}_g(s)\|_{L1} \|\mathbf{r}\|_{\infty} - \rho_{in}}{L_{1\rho_r} \rho_r + B_0} \quad (8)$$

که در آن

$$\begin{aligned} G_m(s) &= \mathbf{H}_{xm}(s)(\mathbf{I}_m - \mathbf{C}(s)), \\ \mathbf{H}_{xm}(s) &= (s\mathbf{I} - \mathbf{A}_m)^{-1} \mathbf{B}, \\ \rho_{in} &= \|\mathbf{s}(s\mathbf{I} - \mathbf{A}_m)^{-1}\|_{L1} \rho_0, \\ \mathbf{H}_m(s) &= \mathbf{C}(s\mathbf{I} - \mathbf{A}_m)^{-1} \mathbf{B}, \\ l_0 &= \frac{L_{2\rho_r}}{L_{1\rho_r}}, B_0 = \max\left\{B_{10}, \frac{B_{20}}{l_0}\right\} \end{aligned} \quad (9)$$

۲-۲- تخمین گر حالت

فرم کلی تخمین گر حالت به صورت زیر است:

$$\begin{aligned} \dot{\hat{\mathbf{x}}}(t) &= \mathbf{A}_m \hat{\mathbf{x}}(t) + \mathbf{B}(\mathbf{u}_{ad}(t) + \hat{\boldsymbol{\theta}}(t) \|x_t\|_{\infty} + \hat{\boldsymbol{\rho}}(t)), \\ \hat{\mathbf{y}}(t) &= \mathbf{C}\hat{\mathbf{x}}(t) \end{aligned} \quad (10)$$

که در آن، $\hat{\boldsymbol{\theta}}(t) \in R^m$ ، $\hat{\boldsymbol{\rho}}(t) \in R^m$ تخمین‌های تطبیقی برای بخش غیرخطی مدل هستند.

۲-۳- قوانین تطبیق

قوانین تطبیق مبتنی بر الگوریتم تصویر به صورت زیر تعریف می‌شوند:

$$\begin{aligned} \dot{\hat{\boldsymbol{\theta}}}(t) &= \Gamma \text{Proj}(\hat{\boldsymbol{\theta}}(t), -(\mathbf{e}^T(t)\mathbf{P}\mathbf{B}_m)^T \|x_t\|_{L_{\infty}}), \\ \dot{\hat{\boldsymbol{\rho}}}(t) &= \Gamma \text{Proj}(\hat{\boldsymbol{\rho}}(t), -(\mathbf{e}^T(t)\mathbf{P}\mathbf{B}_m)^T) \end{aligned} \quad (11)$$

که در آن، $\mathbf{e}(t) = \hat{\mathbf{x}}(t) - \mathbf{x}(t)$ معرف خطای تخمین حالت، $\Gamma \in R^+$ بهره تطبیق، $\mathbf{P} = \mathbf{P}^T > 0$ ، جواب معادله لیاپانوف $\mathbf{A}_m^T \mathbf{P} + \mathbf{P}\mathbf{A}_m = -\mathbf{Q}$ برای $\mathbf{Q} = \mathbf{Q}^T > 0$ است. این عملگر تضمین می‌کند که $\|\hat{\boldsymbol{\theta}}(t)\|_{\infty} \leq \theta_b$ ، $\|\hat{\boldsymbol{\rho}}(t)\|_{\infty} \leq \sigma_b$ عملگر تصویر به صورت زیر تعریف می‌شود.

$$\text{Proj}(\boldsymbol{\theta}, \mathbf{y}) = \quad (12)$$

$$\begin{cases} \mathbf{y} & \text{if } f(\boldsymbol{\theta}) < 0, \\ \mathbf{y} & \text{if } f(\boldsymbol{\theta}) \geq 0 \text{ and } \nabla f^T \mathbf{y} \leq 0, \\ \mathbf{y} - \frac{\nabla f}{\|\nabla f\|} \left\langle \frac{\nabla f}{\|\nabla f\|}, \mathbf{y} \right\rangle f(\boldsymbol{\theta}) & \text{if } f(\boldsymbol{\theta}) \geq 0 \text{ and } \nabla f^T \mathbf{y} > 0, \end{cases}$$

سیستم به ماتریس هورویتز با مقادیر ویژه مطلوب موردنظر خود تبدیل می‌شود:

$$\begin{aligned} \dot{\mathbf{x}}(t) &= (\mathbf{A} - \mathbf{B}\mathbf{K}_m) \mathbf{x}(t) + \mathbf{B}\mathbf{u}_{ad}(t) + \mathbf{f}(t, \mathbf{x}(t)) \\ &= \mathbf{A}_m \mathbf{x}(t) + \mathbf{B}\mathbf{u}_{ad}(t) + \mathbf{f}(t, \mathbf{x}(t)), \end{aligned} \quad (3)$$

$$\mathbf{y}(t) = \mathbf{C}\mathbf{x}(t);$$

که در آن ماتریس \mathbf{A}_m معرف ماتریس مطلوب سیستم حلقه بسته است. در سیستم فوق فرض می‌شود که شرایط اولیه سیستم (x_0) در ناحیه‌ای محدود با شعاع ρ_0 است. به عبارت دیگر:

$$\|x_0\| \leq \rho_0 < \infty \quad (4)$$

در ادامه، سیستم تعیین شده در (۳) به صورت زیر بازنویسی می‌شود:

$$\begin{aligned} \dot{\mathbf{x}}(t) &= \mathbf{A}_m \mathbf{x}(t) + \mathbf{B}(\mathbf{u}_{ad}(t) + \mathbf{f}_1(t, \mathbf{x}(t))), \\ \mathbf{y}(t) &= \mathbf{C}\mathbf{x}(t) \end{aligned} \quad (5)$$

فرض نخست: برای هر لحظه $t \geq 0$ عدد d_f وجود دارد به طوری که $\|f(t, 0)\|_{\infty} \leq d_f$.

فرض دوم: برای عدد دلخواه $\delta > 0$ ، ثابت‌های مثبت و مستقل از زمان $d_{fx} > 0$ و $d_{ft} > 0$ وجود دارند به طوری که برای تمام $\|X(t)\|_{\infty} < \delta$ ، مشتقات جزئی $f(t, x)$ تکه‌ای پیوسته و کران‌دار هستند. به عبارت دیگر،

$$\left\| \frac{\partial f(t, x)}{\partial x} \right\|_{\infty} \leq d_{fx}, \quad \left\| \frac{\partial f(t, x)}{\partial t} \right\|_{\infty} \leq d_{ft} \quad (6)$$

۲-۱- طراحی کنترل کننده تطبیقی L1

طراحی کنترل کننده بخش تطبیقی L1 شامل یک ماتریس بهره فیدبک ($\mathbf{K} \in R^{m \times m}$) و یک ماتریس تبدیل اکیداً سره ($\mathbf{D}(s)$) است، به طوری که برای تمام فرکانس‌ها ماتریس تبدیل زیر پایدار اکیداً سره خواهد بود:

$$\mathbf{C}(s) = \mathbf{K}\mathbf{D}(s)(\mathbf{I}_m + \mathbf{K}\mathbf{D}(s))^{-1} \quad (7)$$

برای کلاس خاصی از سیستم‌ها $\mathbf{D}(s)$ را می‌توان برابر $\mathbf{D}(s) = \frac{1}{s} \mathbf{I}_m$ در نظر گرفت. همچنین \mathbf{K} باید به گونه‌ای انتخاب شود که $-\mathbf{K}$ هورویتز باشد. برای اثبات پایداری و کران عملکرد، انتخاب \mathbf{K} و $\mathbf{D}(s)$ باید تضمین نماید که برای یک ρ_0 مشخص، $\rho_r > \rho_{in}$ شود، به طوری که شرط نرم L_1 برقرار شود [۲۵]:

$$\mathbf{K}_m = \begin{bmatrix} -6 & 10 & 0 \\ 40 & 4 & 0 \\ 0 & 0 & 1,5 \end{bmatrix}$$

ماتریس بهره لیاپانوف با در نظر گرفتن Q به صورت ماتریس واحد و بر اساس ماتریس هورویتز حلقه بسته، برابر خواهد بود با

$$\mathbf{P} = \begin{bmatrix} 0,125 & 0 & 0 \\ 0 & 0,125 & 0 \\ 0 & 0 & 0,125 \end{bmatrix}$$

با تعریف سیگنال خطا به صورت $\mathbf{e} = \hat{\mathbf{x}} - \mathbf{x}$ و انتخاب کران بالای تخمین‌های مذکور به صورت $\|\hat{\boldsymbol{\theta}}\| \leq 20$, $\|\hat{\boldsymbol{\rho}}(t)\| \leq 20$ در قانون تطبیقی مبتنی بر عملگر تصویر برابر خواهد بود با

$$\mathbf{y} = -(\mathbf{e}^T(t)\mathbf{PB})^T \|x_t\|_{L^\infty} = -0,125 \begin{bmatrix} \hat{x} - x \\ \hat{y} - y \\ \hat{z} - z \end{bmatrix} \|x_t\|_{L^\infty} \quad (16)$$

با در نظر گرفتن $\varepsilon_\theta = 0.5$ ، تابع محدب $f(\theta)$ برای $\hat{\boldsymbol{\theta}}(t)$ و $\hat{\boldsymbol{\rho}}(t)$ به صورت زیر محاسبه می‌شود:

$$f(\hat{\boldsymbol{\theta}}(t)) = \frac{3\hat{\boldsymbol{\theta}}^T(t)\hat{\boldsymbol{\theta}}(t)}{400} - 2, \quad (17)$$

$$f(\hat{\boldsymbol{\rho}}(t)) = \frac{3\hat{\boldsymbol{\rho}}^T(t)\hat{\boldsymbol{\rho}}(t)}{400} - 2$$

پیش فیلترهای مرتبه اول برابر هستند با

$$C_1(s) = \frac{k_1}{s+k_1}, C_2(s) = \frac{k_2}{s+k_2}, C_3(s) = \frac{k_3}{s+k_3} \quad (18)$$

در نتیجه، قانون کنترل تطبیقی برابر خواهد بود با

$$\mathbf{u} = - \begin{bmatrix} \frac{k_1}{s+k_1} & 0 & 0 \\ 0 & \frac{k_2}{s+k_2} & 0 \\ 0 & 0 & \frac{k_3}{s+k_3} \end{bmatrix} \begin{bmatrix} \hat{\theta}_1(t)\|x_t\|_{L^\infty} + \hat{\sigma}_1(t) \\ \hat{\theta}_2(t)\|x_t\|_{L^\infty} + \hat{\sigma}_2(t) \\ \hat{\theta}_3(t)\|x_t\|_{L^\infty} + \hat{\sigma}_3(t) \end{bmatrix} - \begin{bmatrix} -6 & 10 & 0 \\ 40 & 4 & 0 \\ 0 & 0 & 1,5 \end{bmatrix} \begin{bmatrix} x \\ y \\ z \end{bmatrix} \quad (19)$$

که در آن، $f(\boldsymbol{\theta}) = \frac{(\varepsilon_\theta + 1)\boldsymbol{\theta}^T\boldsymbol{\theta} - \theta_{\max}^2}{\varepsilon_\theta\theta_{\max}^2}$ معرف یک

تابع محدب یکنواخت در مجموعه محدب بسته با کران هموار $\Omega_c = \{\boldsymbol{\theta} \in R^n \mid f(\boldsymbol{\theta}) \leq c\}$, $0 \leq c \leq 1$ است. همچنین، θ_{\max} کران بالای بردار $\boldsymbol{\theta}$ و ε_θ آستانه تصویر و مقداری مثبت است.

۲-۴ قانون کنترل

قانون کنترل فیدبک تطبیقی به صورت زیر تعریف می‌گردد:

$$\mathbf{u}_{ad}(t) = -\mathbf{C}(s)(\hat{\boldsymbol{\theta}}(t)\|x_t\|_{L^\infty} + \hat{\boldsymbol{\sigma}}(t) - \mathbf{K}_g \mathbf{r}(t)) \quad (13)$$

که در آن، $\mathbf{C}(s)$ بردار پیش فیلترهای مرتبه اول، $\mathbf{r}(t)$ بردار ورودی مطلوب و \mathbf{K}_g ماتریس بهره پیش‌خور است.

۳- طراحی کنترل تطبیقی L1 برای سیستم

آشوب لیو

دینامیک سیستم آشوبناک لیو با در نظر گرفتن ورودی‌های کنترلی u_1 , u_2 و u_3 به صورت زیر قابل توصیف می‌باشد [۲۶]:

$$\begin{aligned} \dot{x} &= -ax + ay + u_1, \\ \dot{y} &= bx - xz + u_2, \\ \dot{z} &= -cz + hx^2 + u_3 \end{aligned} \quad (14)$$

با تعریف متغیرهای حالت $x_1 = x$, $x_2 = y$, $x_3 = z$ دینامیک (۱۴) در فرم بردار ماتریسی به صورت زیر قابل بازنویسی است:

$$\dot{\mathbf{x}}(t) = \mathbf{A}\mathbf{x}(t) + \mathbf{B}(\mathbf{u}(t) + \mathbf{f}(t, \mathbf{x})) \quad (15)$$

که در آن

$$\mathbf{A} = \begin{bmatrix} -a & a & 0 \\ b & 0 & 0 \\ 0 & 0 & -c \end{bmatrix}, \mathbf{B} = \begin{bmatrix} 1 & 0 & 0 \\ 0 & 1 & 0 \\ 0 & 0 & 1 \end{bmatrix},$$

$$\mathbf{f} = \begin{bmatrix} 0 \\ -x_1 x_3 \\ hx_1^2 \end{bmatrix}$$

با در نظر گرفتن ماتریس هورویتز زیر

$$\mathbf{A}_m = \begin{bmatrix} -4 & 0 & 0 \\ 0 & -4 & 0 \\ 0 & 0 & -4 \end{bmatrix}$$

ماتریس بهره فیدبک حالت ($\mathbf{K}_m \in R^{3 \times 3}$) برابر است با

$$= \mathbf{A}_m \mathbf{e}(t) + \mathbf{B}(\hat{\boldsymbol{\theta}}(t) \|x_t\|_\infty + \hat{\boldsymbol{\sigma}}(t) - \mathbf{f}(t, x)) \quad (22)$$

از آنجایی که بخش تطبیقی به نوعی مواجهه با نامعینی‌های عبارت غیرخطی سیستم را بر عهده دارد، بنابراین بردار غیرخطی $\mathbf{f}(t, x)$ در حالت نامی برابر با $\mathbf{f}(t, x) = \boldsymbol{\theta}(t) \|x_t\|_\infty + \boldsymbol{\sigma}(t)$ است. در نتیجه، دینامیک خطا را می‌توان به صورت زیر بازنویسی نمود:

$$\dot{\mathbf{e}}(t) = \mathbf{A}_m \mathbf{e}(t) + \mathbf{B}(\tilde{\boldsymbol{\theta}}(t) \|x_t\|_\infty + \tilde{\boldsymbol{\sigma}}(t)) \quad (23)$$

بنابراین، مشتق زمانی تابع لیاپانوف با توجه به اینکه ماتریس \mathbf{B} ماتریس واحد است، برابر خواهد بود با

$$\begin{aligned} \dot{v}(t) &= \frac{1}{2} \mathbf{e}^T(t) (\mathbf{A}_m^T \mathbf{P} + \mathbf{P} \mathbf{A}_m) \mathbf{e}(t) \\ &+ \frac{1}{2} (\tilde{\boldsymbol{\sigma}}^T(t) \mathbf{P} \mathbf{e}(t) + \mathbf{e}^T(t) \mathbf{P} \tilde{\boldsymbol{\sigma}}(t)) \\ &+ \frac{1}{2} (\tilde{\boldsymbol{\theta}}^T(t) \|x_t\|_\infty \mathbf{P} \mathbf{e}(t) + \mathbf{e}^T(t) \mathbf{P} \tilde{\boldsymbol{\theta}}(t) \|x_t\|_\infty) \\ &+ \frac{1}{2\Gamma} (\dot{\tilde{\boldsymbol{\theta}}}^T(t) \tilde{\boldsymbol{\theta}}(t) + \tilde{\boldsymbol{\theta}}^T(t) \dot{\tilde{\boldsymbol{\theta}}}(t)) \\ &+ \frac{1}{2\Gamma} (\dot{\tilde{\boldsymbol{\sigma}}}^T(t) \tilde{\boldsymbol{\sigma}}(t) + \tilde{\boldsymbol{\sigma}}^T(t) \dot{\tilde{\boldsymbol{\sigma}}}(t)) \end{aligned} \quad (24)$$

به عبارت ساده‌تر

$$\begin{aligned} \dot{v}(t) &= \frac{1}{2} \mathbf{e}^T(t) (\mathbf{A}_m^T \mathbf{P} + \mathbf{P} \mathbf{A}_m) \mathbf{e}(t) \\ &+ \tilde{\boldsymbol{\sigma}}^T(t) \left(\mathbf{P} \mathbf{e}(t) + \frac{1}{\Gamma} \dot{\tilde{\boldsymbol{\sigma}}}(t) \right) \end{aligned} \quad (25)$$

$$+ \tilde{\boldsymbol{\theta}}^T(t) \left(\|x_t\|_\infty \mathbf{P} \mathbf{e}(t) + \frac{1}{\Gamma} \dot{\tilde{\boldsymbol{\theta}}}(t) \right)$$

با توجه به رابطه $\mathbf{A}_m^T \mathbf{P} + \mathbf{P} \mathbf{A}_m = -\mathbf{Q}$ داریم

$$\begin{aligned} \dot{v}(t) &= -\frac{1}{2} \mathbf{e}^T(t) \mathbf{Q} \mathbf{e}(t) \\ &+ \tilde{\boldsymbol{\sigma}}^T(t) \left(\mathbf{P} \mathbf{e}(t) + \frac{1}{\Gamma} \dot{\tilde{\boldsymbol{\sigma}}}(t) \right) \end{aligned} \quad (26)$$

$$+ \tilde{\boldsymbol{\theta}}^T(t) \left(\|x_t\|_\infty \mathbf{P} \mathbf{e}(t) + \frac{1}{\Gamma} \dot{\tilde{\boldsymbol{\theta}}}(t) \right)$$

بر مبنای قوانین تطبیق در (۱۱) و (۱۲)، سه حالت مختلف وجود دارد:

$$f(\boldsymbol{\theta}) < 0 \quad \text{الف)}$$

در این صورت قوانین تطبیق برابر خواهند بود با

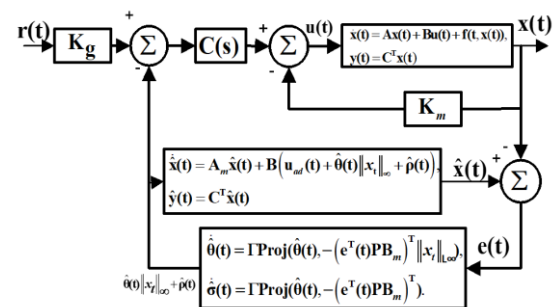
$$\dot{\hat{\boldsymbol{\theta}}}(t) = -\Gamma \mathbf{P} \mathbf{e}(t) \|x_t\|_\infty, \quad \dot{\hat{\boldsymbol{\sigma}}}(t) = -\Gamma \mathbf{P} \mathbf{e}(t)$$

با جایگذاری روابط مذکور در (۲۶)، مشتق تابع لیاپانوف برابر خواهد بود با

۳-۱- ساختار کلی کنترل تطبیقی L1 برای

پایداری سیستم آشوبناک لیو

بلوک دیگرام سیستم کنترل پیشنهادی برای پایداری مدل آشوب لیو در شکل (۲) مشاهده می‌شود. بر مبنای این شکل، از اختلاف بین خروجی رویت‌گر حالت و مدل واقعی، به‌عنوان تصحیح‌کننده خطای تخمین پارامتر در الگوریتم‌های تصویر استفاده می‌شود. قانون کنترل از اطلاعات تخمین به همراه فیدبک حالت و پیش‌فیلترهای مرتبه اول برای پایداری سیستم آشوب با وجود نامعینی در مدل استفاده می‌کند.



شکل ۲: بلوک دیگرام کنترل تطبیقی L1 برای پایداری سیستم آشوبناک لیو

۴- تحلیل پایداری

برای اثبات پایداری سیستم حلقه بسته، تابع لیاپانوف به صورت زیر تعریف می‌گردد:

$$v(t) = \frac{1}{2} \mathbf{e}^T(t) \mathbf{P} \mathbf{e}(t) + \frac{1}{2\Gamma} (\tilde{\boldsymbol{\theta}}^T(t) \tilde{\boldsymbol{\theta}}(t) + \tilde{\boldsymbol{\sigma}}^T(t) \tilde{\boldsymbol{\sigma}}(t)) \quad (20)$$

که در آن $\tilde{\boldsymbol{\theta}} = \hat{\boldsymbol{\theta}} - \boldsymbol{\theta}$ و $\tilde{\boldsymbol{\sigma}} = \hat{\boldsymbol{\sigma}} - \boldsymbol{\sigma}$.

مشتق زمانی تابع فوق برابر است با:

$$\begin{aligned} \dot{v}(t) &= \frac{1}{2} \mathbf{e}^T(t) \mathbf{P} \mathbf{e}(t) + \frac{1}{2} \mathbf{e}^T(t) \mathbf{P} \dot{\mathbf{e}}(t) \\ &+ \frac{1}{2\Gamma} (\dot{\tilde{\boldsymbol{\theta}}}^T(t) \tilde{\boldsymbol{\theta}}(t) + \tilde{\boldsymbol{\theta}}^T(t) \dot{\tilde{\boldsymbol{\theta}}}(t)) \\ &+ \frac{1}{2\Gamma} (\dot{\tilde{\boldsymbol{\sigma}}}^T(t) \tilde{\boldsymbol{\sigma}}(t) + \tilde{\boldsymbol{\sigma}}^T(t) \dot{\tilde{\boldsymbol{\sigma}}}(t)) \end{aligned} \quad (21)$$

با مشتق‌گیری از سیگنال خطا و استفاده از روابط (۳)، (۱۰) و (۱۳) می‌توان نوشت:

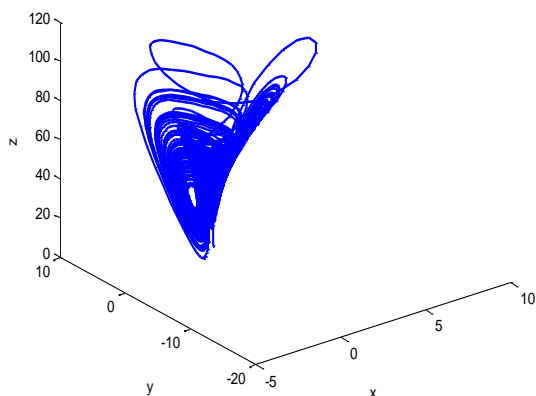
$$\begin{aligned} \dot{\mathbf{e}}(t) &= \dot{\hat{\mathbf{x}}}(t) - \dot{\mathbf{x}}(t) = \\ &\mathbf{A}_m \hat{\mathbf{x}}(t) + \mathbf{B}(\mathbf{u}_{ad}(t) + \hat{\boldsymbol{\theta}}(t) \|x_t\|_\infty + \hat{\boldsymbol{\sigma}}(t)) \\ &- \mathbf{A}_m \mathbf{x}(t) - \mathbf{B}(\mathbf{u}_{ad}(t) + \mathbf{f}(t, x)) \end{aligned}$$

$$\begin{aligned} & \tilde{\theta}^T \nabla f \geq 0. \text{ به طور مشابه } \tilde{\sigma}^T \nabla f \geq 0 \text{ بنابراین} \\ \dot{v}(t) = & \underbrace{-\frac{1}{2} \mathbf{e}^T(t) \mathbf{Q} \mathbf{e}(t)}_{\leq 0} \\ & + \frac{1}{\Gamma} \tilde{\sigma}^T(t) \left(-\frac{\nabla f}{\|\nabla f\|} \left\langle \frac{\nabla f}{\|\nabla f\|}, \mathbf{y} \right\rangle f(\theta) \right) \\ & + \frac{1}{\Gamma} \tilde{\theta}^T(t) \left(-\frac{\nabla f}{\|\nabla f\|} \left\langle \frac{\nabla f}{\|\nabla f\|}, \mathbf{y} \right\rangle f(\theta) \right) \leq 0 \quad (32) \end{aligned}$$

۵- شبیه‌سازی و تحلیل نتایج

رفتار سیستم آشوب لیبو با توجه به معادلات توصیف‌کننده آن در (۱۴) در شکل (۳) مشاهده می‌شود. پارامترهای مدل عبارتند از $a=10$ ، $b=40$ ، $c=2.5$ و $h=4$. همان‌طور که مشاهده می‌شود، سیستم لیبو دارای رفتار آشوبناک می‌باشد که باید به شیوه‌ای مناسب رفتار آن را میرا نمود. مقدار بهره تطبیق برای قوانین تطبیق برابر $\Gamma=0.1$ در نظر گرفته شده است.

نکته: در این مقاله، از $\|x_t\|_\infty$ به‌عنوان پارامتر تنظیم استفاده می‌شود. با توجه به بررسی‌های انجام‌شده، در نامعینی‌های زیاد، باید برای مواجهه با خطای ناشی از آن، آن را تا مقدار مشخصی افزایش داد.



شکل ۳: رفتار آشوبناک سیستم لیبو

مقادیر بهره فیلترهای پایین‌گذر مرتبه اول $k_1 = k_2 = k_3 = 5$ در نظر گرفته شده‌اند. شکل‌های (۴) تا (۶) پایداری حالت‌های آشوبناک سیستم لیبو را همراه با تخمین آن‌ها توسط رویکرد نشان می‌دهند. همان‌طور که مشاهده می‌شود، حالت‌های سیستم به ازای شرایط اولیه (۱، ۲، ۱-، ۱) بعد از مدت‌زمان کوتاهی به مقدار صفر همگرا شده‌اند. سیگنال‌های کنترلی در شکل (۷)

$$\begin{aligned} \dot{v}(t) = & -\frac{1}{2} \mathbf{e}^T(t) \mathbf{Q} \mathbf{e}(t) \\ & + \tilde{\sigma}^T(t) \left(\mathbf{P} \mathbf{e}(t) + \frac{1}{\Gamma} (-\Gamma \mathbf{P} \mathbf{e}(t)) \right) \\ & + \tilde{\theta}^T(t) \left(\|x_t\|_\infty \mathbf{P} \mathbf{e}(t) + \frac{1}{\Gamma} (-\Gamma \mathbf{P} \mathbf{e}(t) \|x_t\|_\infty) \right) \\ = & -\frac{1}{2} \mathbf{e}^T(t) \mathbf{Q} \mathbf{e}(t) \leq 0, \quad \forall \mathbf{Q} > 0 \quad (27) \end{aligned}$$

ب) $f(\theta) > 0$, $\nabla f^T(\theta) \mathbf{y} < 0$

این حالت مشابه با حالت نخست می‌باشد.

ج) $f(\theta) > 0$, $\nabla f^T(\theta) \mathbf{y} > 0$

در این صورت، قوانین تطبیق برابر خواهند بود با

$$\dot{\hat{\theta}}(t) = -\Gamma \mathbf{P} \mathbf{e}(t) \|x_t\|_\infty - \frac{\nabla f}{\|\nabla f\|} \left\langle \frac{\nabla f}{\|\nabla f\|}, \mathbf{y} \right\rangle f(\theta) \quad (28)$$

$$\dot{\hat{\sigma}}(t) = -\Gamma \mathbf{P} \mathbf{e}(t) - \frac{\nabla f}{\|\nabla f\|} \left\langle \frac{\nabla f}{\|\nabla f\|}, \mathbf{y} \right\rangle f(\theta)$$

با جایگذاری روابط فوق در (۲۶) می‌توان نوشت:

$$\begin{aligned} \dot{v}(t) = & -\frac{1}{2} \mathbf{e}^T(t) \mathbf{Q} \mathbf{e}(t) \\ & + \frac{1}{\Gamma} \tilde{\sigma}^T(t) \left(-\frac{\nabla f}{\|\nabla f\|} \left\langle \frac{\nabla f}{\|\nabla f\|}, \mathbf{y} \right\rangle f(\theta) \right) \\ & + \frac{1}{\Gamma} \tilde{\theta}^T(t) \left(-\frac{\nabla f}{\|\nabla f\|} \left\langle \frac{\nabla f}{\|\nabla f\|}, \mathbf{y} \right\rangle f(\theta) \right) \quad (29) \end{aligned}$$

از طرفی، برای عملگر تصویر، رابطه زیر برقرار می‌باشد: [۲۵]

$$(\hat{\theta} - \theta)^T (\text{Proj}(\hat{\theta}, \mathbf{y}) - \mathbf{y}) \leq 0 \quad (30)$$

این بدان معنی است که

$$(\hat{\theta} - \theta)^T (\text{Proj}(\hat{\theta}, \mathbf{y}) - \mathbf{y}) = \quad (31)$$

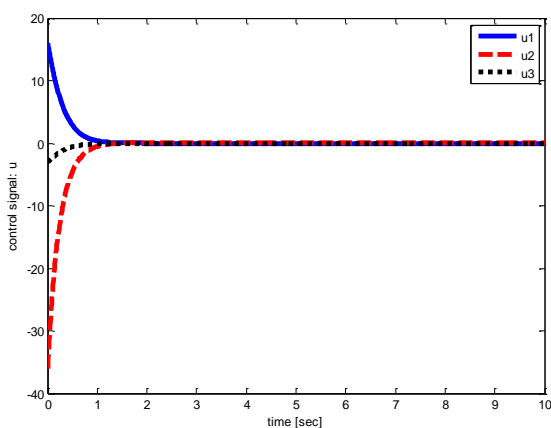
$$\begin{cases} 0 & \text{if } f(\hat{\theta}) < 0, \\ 0 & \text{if } f(\hat{\theta}) \geq 0 \text{ and } \nabla f^T \mathbf{y} \leq 0, \\ \underbrace{(\hat{\theta} - \theta)^T \frac{\nabla f}{\|\nabla f\|}}_{\leq 0} \underbrace{\frac{\nabla f^T \mathbf{y}}{\|\nabla f\|}}_{\geq 0} f(\hat{\theta}) & \text{if } f(\hat{\theta}) \geq 0 \text{ and } \nabla f^T \mathbf{y} > 0, \end{cases}$$

اساس رابطه فوق، $(\hat{\theta} - \theta)^T \nabla f \leq 0$ می‌باشد. در نتیجه،

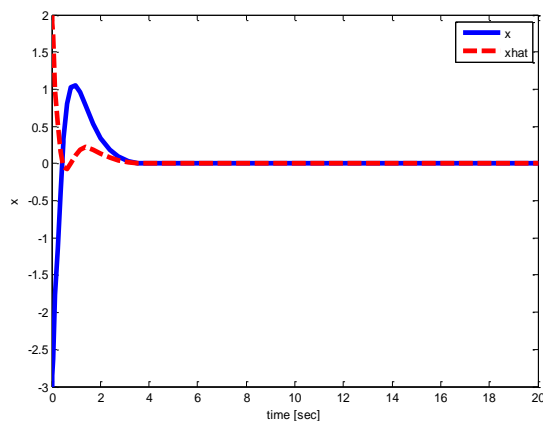
$$\begin{aligned} \dot{x}_1 &= -ax_1 + ax_2 + u_1 + 2\cos(x_1), \\ \dot{x}_2 &= bx_1 - x_1x_3 + u_2 + \cos(x_1), \end{aligned} \quad (33)$$

$$\dot{x}_3 = -cx_3 + hx_1^2 + u_3 + 1.5\cos(x_3)$$

مقدار بهره تطبیق برابر ۰.۵ و مقدار $\|x_t\|_\infty$ برابر ۱۰۰ برای کنترل کننده و رویتگر حالت و مقدار ۱ برای قوانین تطبیق انتخاب شده‌اند. شکل‌های (۸) تا (۱۰) پایداری حالت‌های آشوبناک را با وجود نامعینی غیر پارامتری نشان می‌دهد.



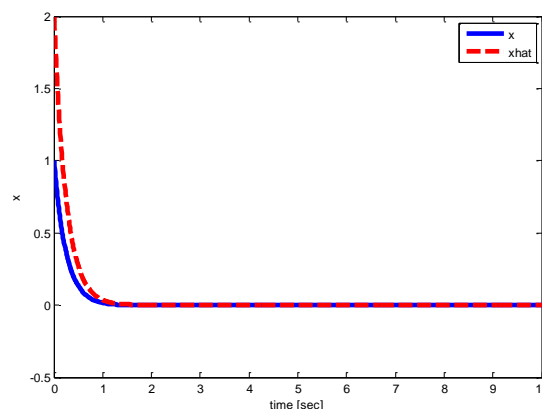
شکل ۷: سیگنال‌های کنترلی در سیستم آشوبناک لیو با شرایط اولیه (۱، -۱، ۲)



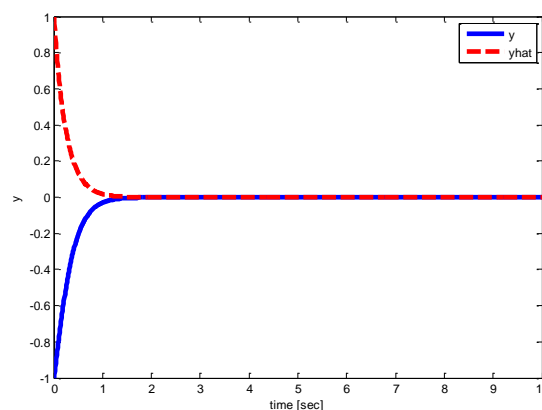
شکل ۸: پایداری حالت نخست سیستم آشوبناک لیو با شرایط اولیه (۱، -۳، ۲، -۱) و نامعینی غیر پارامتری در مدل

با توجه به نتایج، سیستم کنترل کننده تطبیقی پیشنهادی قابلیت پایداری حالت‌های آشوبناک را با وجود نامعینی شدید در مدل سیستم، دارا می‌باشد. بنابراین حالت‌های سیستم با وجود افت ناچیز در شرایط گذرا توانسته‌اند به مقدار صفر همگرا شوند. سیگنال‌های کنترلی در شکل (۱۱) از تغییرات بیشتری نسبت به حالت بدون نامعینی به‌ویژه در شرایط گذرا برخوردار هستند.

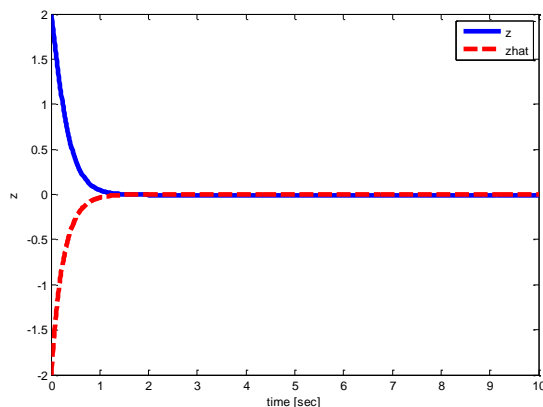
متناظر با پایداری حالت‌های آشوبناک به سمت صفر میل نموده‌اند.



شکل ۴: پایداری حالت نخست سیستم آشوبناک لیو با شرایط اولیه (۱، -۱، ۲)



شکل ۵: پایداری حالت دوم سیستم آشوبناک لیو با شرایط اولیه (۱، -۱، ۲)



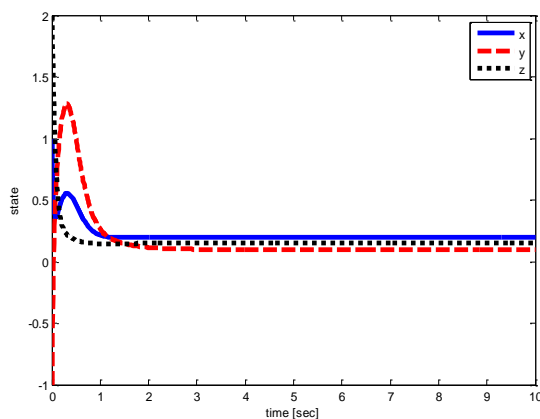
شکل ۶: پایداری حالت سوم سیستم آشوبناک لیو با شرایط اولیه (۱، -۱، ۲)

برای ارزیابی دقیق‌تر روش پیشنهادی و قیاس آن با روش‌های تطبیقی مرسوم، فرض می‌شود که نامعینی غیر پارامتری در مدل دینامیکی سیستم آشوبناک لیو به‌صورت زیر وجود دارد.

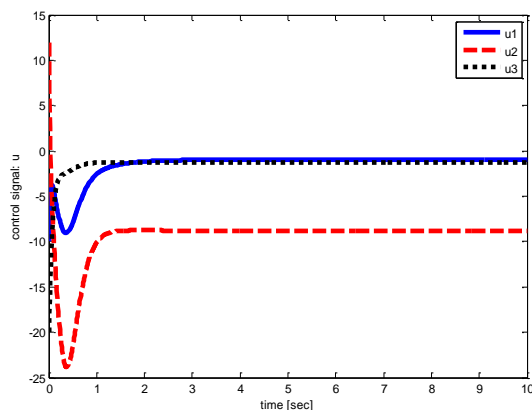
که در آن، قوانین تطبیق عبارت هستند از

$$\begin{aligned}\dot{\hat{a}} &= -x_1^2 + k_4(a - \hat{a}), \\ \dot{\hat{b}} &= x_1^2 + k_5(b - \hat{b}), \\ \dot{\hat{h}} &= x_1^2 x_3 + k_6(h - \hat{h}), \\ \dot{\hat{c}} &= -x_3^2 + k_7(c - \hat{c}),\end{aligned}\quad (35)$$

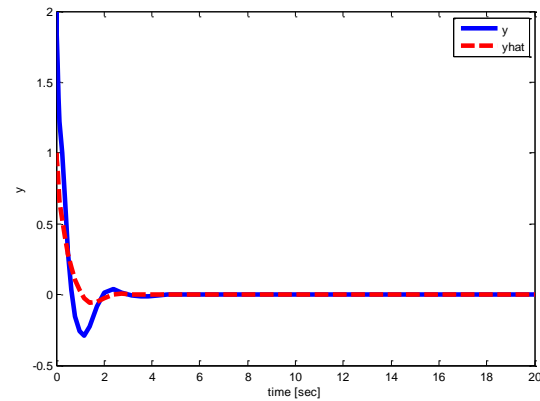
شکل (۱۲) نتایج پایدارسازی حالت‌های آشوبناک را نشان می‌دهد. همان‌طور که مشاهده می‌شود، حالت‌های سیستم به مقدار صفر میرا نشده‌اند. به عبارت دیگر پایدارسازی حالت‌های آشوبناک به‌طور مطلوب انجام نشده است و روش کنترلی تطبیقی ارائه شده قادر به مواجهه مناسب با نامعینی‌های غیر پارامتری در مدل ليو نیست. این مسئله به خوبی گواه توانمندی رویکرد کنترلی تطبیقی پیشنهادی است که با استفاده از آن می‌توان نامعینی غیر پارامتری را به خوبی جبران نمود. سیگنال‌های کنترلی در شکل (۱۳) نیز نسبت به روش پیشنهادی از دامنه بالاتری به‌ویژه در شرایط گذرا برخوردار می‌باشد.



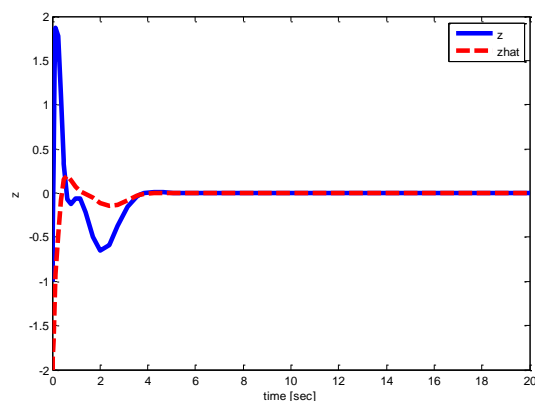
شکل ۱۰: پایدارسازی حالت‌های آشوبناک با وجود نامعینی غیرساختاری به کمک کنترل تطبیقی ارائه شده در [۲۷]



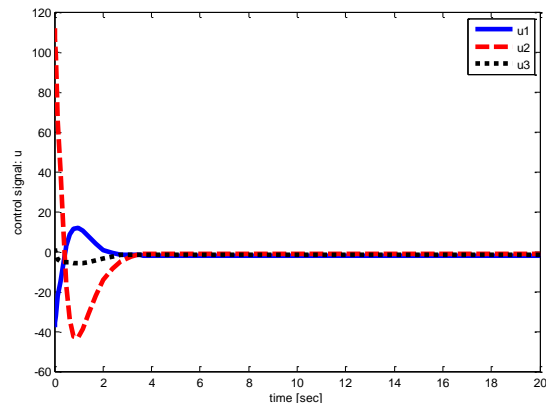
شکل ۱۱: سیگنال‌های کنترلی با وجود نامعینی غیرساختاری به کمک کنترل تطبیقی ارائه شده در [۲۷]



شکل ۹: پایدارسازی حالت دوم سیستم آشوبناک ليو با شرایط اولیه (۱، ۲، ۳-) و نامعینی غیر پارامتری در مدل



شکل ۱۲: پایدارسازی حالت سوم سیستم آشوبناک ليو با شرایط اولیه (۱، ۲، ۳-) و نامعینی غیر پارامتری در مدل



شکل ۱۳: سیگنال‌های کنترلی در سیستم آشوبناک ليو با شرایط اولیه (۱، ۲، ۳-) با نامعینی غیر پارامتری در مدل

در ادامه، نتایج به دست آمده از روش پیشنهادی با یکی از روش‌های کنترلی تطبیقی با قوانین کنترل زیر مقایسه می‌شود [۲۷].

$$\begin{aligned}u_1 &= \hat{a}x_1 - \hat{a}x_2 - k_1x_1 \\ u_2 &= -\hat{b}x_1^2x_3 - k_2x_2 \\ u_3 &= -\hat{h}x_1^2 + \hat{c}x_3 - k_3x_3\end{aligned}\quad (36)$$

۶- نتیجه‌گیری

در این مقاله، استراتژی کنترل تطبیقی L1 برای پایدارسازی سیستم‌های آشوبناک پیشنهاد گردید. برای طراحی قانون کنترل، ابتدا دینامیک سیستم آشوب به دو قسمت خطی و غیرخطی تقسیم شد. ماتریس حالت بخش خطی با استفاده از فیدبک حالت خطی به ماتریس هورویتز مطلوب حلقه بسته تبدیل می‌شود. بنابراین، بخشی از قانون کنترل تطبیقی وظیفه هدایت حالت‌های سیستم به سمت حالت‌های مطلوب را بر عهده‌دارند. از طرفی، بخش غیرخطی دینامیک سیستم با استفاده از قانون کنترل تطبیقی جبران‌سازی می‌شود. هدف این بخش، مواجهه با نامعینی‌های احتمالی و کاهش اثرات خطای ناشی از آن‌ها روی بخش خطی است. برای این منظور، از قانون تطبیق

پارامتر غیرخطی مبتنی بر الگوریتم تصویر استفاده گردید. همچنین، یک رویکرد خطی در هر لحظه رفتار مطلوب را برای سیستم حلقه بسته تعیین می‌کند. روش پیشنهادی در پایدارسازی حالت‌های آشوبناک با وجود نامعینی غیر پارامتری در مدل، از عملکرد مطلوبی برخوردار بوده به طوری که سرعت عملکرد پاسخ حلقه بسته، بالا بوده و حالت‌های سیستم با حداقل خطای حالت ماندگار به صفر همگرا شده‌اند. این مسئله به‌ویژه در مقایسه با یکی از روش‌های کنترلی تطبیقی مرسوم نمایان گردید که در آن روش مذکور در مواجهه با نامعینی غیر پارامتری دچار مشکل شد و نتوانست با عملکرد مطلوب، حالت‌های آشوبناک را میرا نماید.

۷- مراجع

- [1] A. L. Fradkov, and R. J. Evans, "Control of chaos: methods and applications in engineering", Annual Reviews in Control, Vol. 29, NO. 1, January 2005, pp. 33 – 56.
- [2] A. L. Fradkov, and R. J. Evans, "Control of chaos: survey 1997-2000", IFAC Proceedings Volumes, Vol. 35, NO. 1, January 2002, pp. 131 – 142.
- [3] E. Ott, C. Grebogi, and J. A. Yorke, "Controlling chaos", Physical Review Letters, Vol. 64, NO. 11, March 1990, pp. 1196 – 1199.
- [4] W. L. Ditto, S. N. Rausseo, and M. L. Spano, "Experimental control of chaos", Physical Review Letters, Vol. 65, NO. 26, December 1990, pp. 3211 – 3215.
- [5] K. Pyragis, "Continuous control of chaos by self-controlling feedback", IEEE Transactions on Energy Conversion, Vol. 170, NO. 6, November 1992, pp. 421 – 428.
- [6] V. G. Ivancevic, and T. T. Ivancevic, "Computational mind: a complex dynamics perspectives", Springer-Verlag, Berlin, 2007.
- [7] S. Boccaletti, C. Grebogi, Y. C. Lai, H. Mancini, and D. Maza, "The control of chaos-theory and applications", Physics Reports, Vol. 329, NO. 3, May 2000, pp. 103 – 197.
- [8] X. T. Tran, and H. J. Kang, "Robust adaptive chatter-free finite-time control method for chaos control and (anti-)synchronization of uncertain (hyper) chaotic systems", Nonlinear Dynamics, Vol. 80, NO. 1-2, April 2015, pp. 637 – 651.
- [9] L. Guo, M. Hu, Z. Xu, and A. Hu, "Synchronization and chaos control by quorum sensing mechanism", Nonlinear Dynamics, Vol. 73, NO. 3, August 2013, pp. 1253 – 1269.
- [10] C. F. Huang, J. S. Lin, T. L. Liao C. Y. Chen and J. J. Yan, "Quasi-sliding mode control of chaos in permanent magnet synchronous motor", Mathematical Problems in Engineering, Vol. 2011, 2011, pp. 1 – 10.
- [11] J. Yang, and L. Zhao, "Bifurcation analysis and chaos control of the modified Chua's circuit system", Nonlinear Science, and Nonequilibrium and Complex Phenomena, Vol. 77, August 2015, pp. 332 – 339.
- [12] J. Wang, X. Chen, and J. Fu, "Adaptive finite-time control of chaos in permanent magnet synchronous motor with uncertain parameters", Nonlinear Dynamics, Vol. 78, NO. 2, October 2014, pp. 1321 – 1328.
- [13] H. J. Wang, Z. Z. Han, H. Zhao Hui, and Y. J. Yue, "Controlling chaos in power system based on tridiagonal structure matrix stability theory", IEEE Transactions on Energy Conversion, Vol. 588, 2012, pp. 622 – 625.
- [14] D. Franco, and E. Liz, "A two-parameter method for chaos control and targeting in one-dimensional maps", International Journal of Bifurcation and Chaos, Vol. 23, NO. 1, January 2013, p. 1350003.
- [15] M. P. Aghababa, "Finite-time chaos control and synchronization of fractional-order nonautonomous chaotic

- (hyperchaotic) systems using fractional nonsingular terminal sliding mode technique", *Nonlinear Dynamics*, Vol. 69, NO. 1-2, July 2012, pp. 247 – 261.
- [16] A.E. Matouk, "Chaos, feedback control and synchronization of a fractional-order modified Autonomous Van der Pol–Duffing circuit", *Communications in Nonlinear Science and Numerical Simulation*, Vol. 16, NO. 2, February 2011, pp. 975 – 986.
- [17] M.M. El-Dessoky, M.T. Yassen, and E.S. Aly, "Bifurcation analysis and chaos control in Shimizu–Morioka chaotic system with delayed feedback", *Applied Mathematics and Computation*, Vol. 243, September 2014, pp. 283 – 297.
- [18] H. Li, X. Liao, C. Li, and C. Li, "Chaos control and synchronization via a novel chatter free sliding mode control strategy", *Neurocomputing*, Vol. 74, NO. 17, October 2011, pp. 3212 – 3222.
- [19] T. Wang, and N. Jia, "Chaos control and hybrid projective synchronization of several new chaotic systems", *Applied Mathematics and Computation*, Vol. 218, NO. 13, March 2012, pp. 7231 – 7240.
- [20] Y. Kawai, and T. Tisubone, "Chaos control based on stability transformation method for unstable periodic orbits", *Nonlinear Theory and Its Applications*, Vol. 3, NO. 2, 2012, pp. 246 – 256.
- [21] M. Sadeghpour, M. Khodabakhsh, and H. Salarieh, "Intelligent control of chaos using linear feedback controller and neural network identifier", *Communications in Nonlinear Science and Numerical Simulation*, Vol. 17, NO. 12, December 2012, pp. 4731 – 4739.
- [22] J. Qi, and X. Zhang, "Robust synchronization of drive-response chaotic systems via adaptive chatter free sliding mode control", *InControl Conference (CCC), 2016 35th Chinese*, July 2016, pp. 688 – 691.
- [23] G. Li, "Synchronization of uncertain chaotic neural networks with time delays based on sliding mode control", *InControl Conference (CCC), 2016 35th Chinese*, July 2016, pp. 786 – 789.
- [24] P. Ioannou, and K. Author3, "Adaptive Control Tutorial", 2nd Edition, Society for Industrial and Applied Mathematics, Philadelphia, 2006.
- [25] N. Hovakimyan, and C. Cao, "L1 adaptive Control Theory Guaranteed Robustness with Fast Adaptation ", SIAM books, 3600 University City Science, Center, Philadelphia, 2010.
- [26] X. Zhang, X. Liu, and Q. Zhu, "Adaptive chatter free sliding mode control for a class of uncertain chaotic systems", *Applied Mathematical Modelling*, Vol. 232, NO. 1, April 2014, pp. 431 – 435.
- [27] S. Effati, J. Saberi Nadjafi, and H. Saberi Nik, "Optimal and adaptive control for a kind of 3D chaotic and 4D hyper-chaotic systems", *Applied Mathematical Modelling*, Vol. 38, NO. 2, January 2014, pp. 759 – 774.